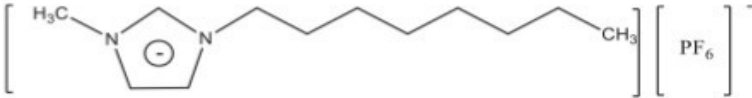
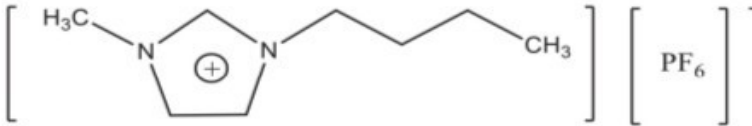
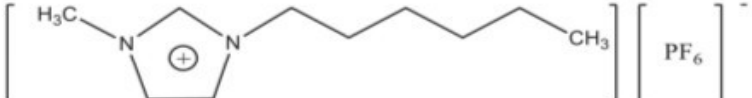
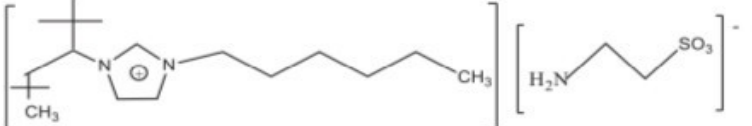
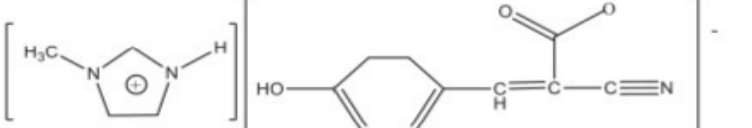
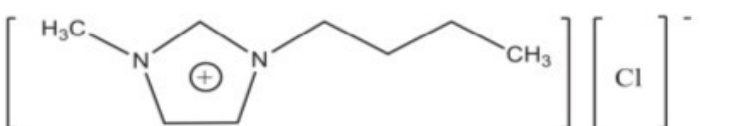
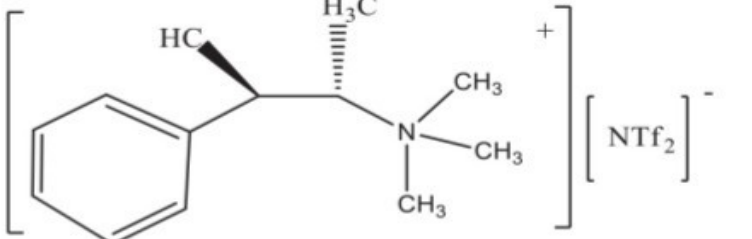


ANEXO

Tabla 1A.-Estructuras de algunos LI representativos

Nombre	Estructura
1-octil-3-metilimidazolio hexafluorofosfato	
1-butil-3-metilimidazolio hexafluorofosfato	
1-hexil-3-metilimidazolio hexafluorofosfato	
Poli(vHIM-taurato)	
Metilimidazolio -ciano-4-hidrocianamato	
Cloruro de 1-butil-3-metilimidazolio	
N,N-dimetilepedrinio bis(trifluorometilsulfonyl)amida	

(+) or (-)

Fig1A.- Metodologías usadas en la determinación de propiedades termofísicas de LI

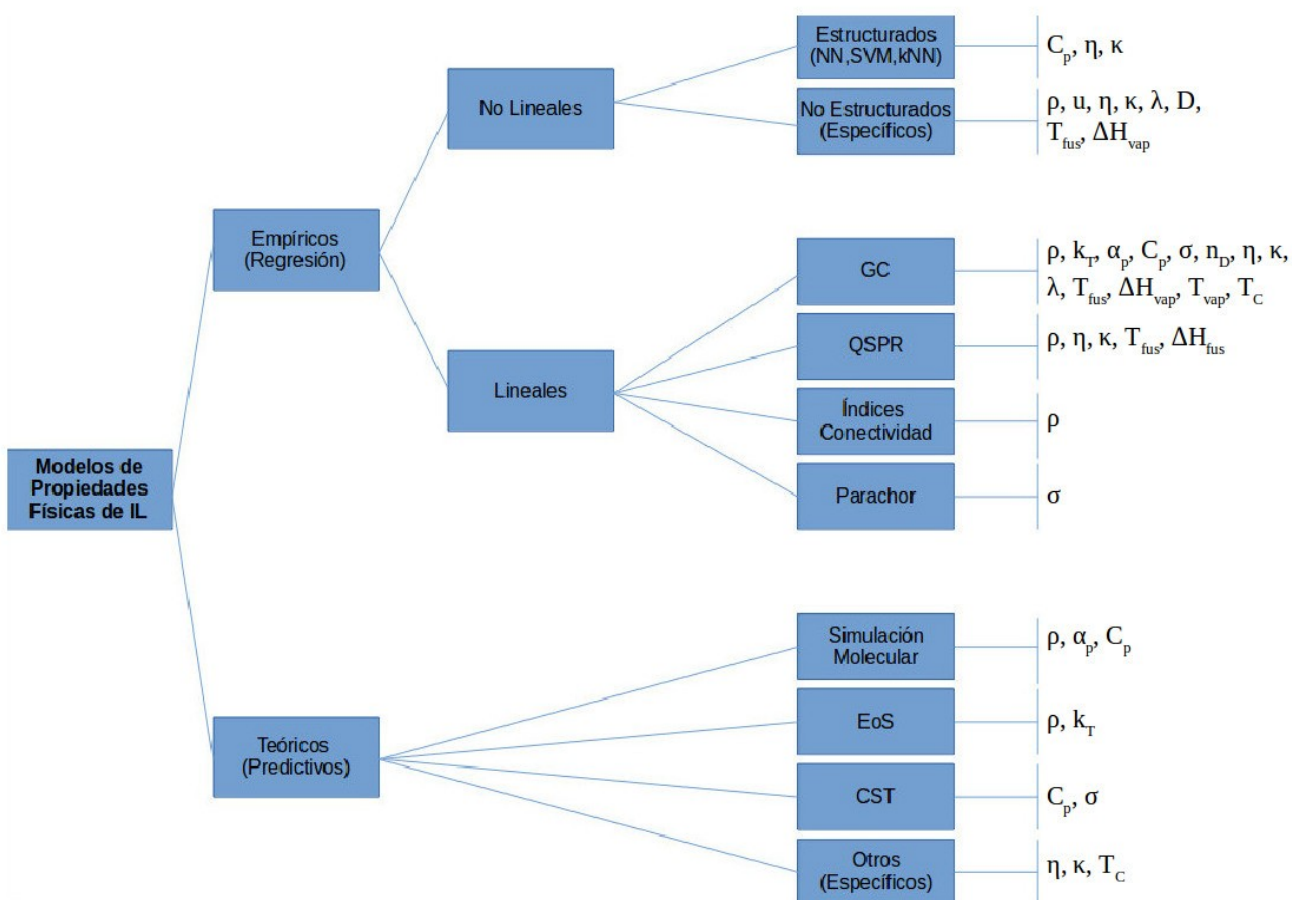


Tabla 2A.- Métodos de predicción de distintas propiedades en LI.

Propiedad	Modelo	Referencia	Tipo	Dev (%)	T_{rango}/K	p_{rango}/MPa
Densidad	Paduszynski y Domanska	11	GC	0,53	253-473	0,1-300
compresibilidad Isotérmica	Gardas y Coutinho	62	GC	2,53	298,15	0,1
Expansividad Isobárica	Gardas y Coutinho	62	GC	1,98	298,15	0,1
Capacidad Calorífica	Paulechka	65	Corr	-	258-370	0,1
	Gardas y Coutinho	64	GC	0,36	196-663	0,1
	Knots	84	GC+Corr	5,75	268-393	0,1
Velocidad del sonido	Auerbach	96	Corr	1,96	278-343	0,1
Indice de Refracción	Gardas y Coutinho	36,62,99	GC	0,18	283-363	0,1
Viscosidad	Gardas y Coutinho	104	GC	7,7	293-393	0,1
Conductividad Eléctrica	Walden rul	103	Corr	-	258-433	0,1
	Zhao	124	Teoría de Huecos	2,2	298	0,1
	Gardas y Coutinho	62	GC	4,57	258-433	0,1
Conductividad Térmica	Gardas y Coutinho	62,74	GC	1,06	293-390	0,1
Coeficiente de autodifusión	Stokes-Einstein	61	Corr	-	263-353	0,1
Propiedades Críticas	Valderrama y Robles	51	GC	-	-	0,1
Punto de Fusión	Lazzus	176	GC	7	200-500	0,1
Entalpía de Fusión	Zhu	126	QSPR	15	-	0,1
Transición Vítreá	Lazzus	181	GC	5	150-350	0,1